GPS 导航电文参数表示的测距误差分析

王陆潇 黄智刚 赵 昀

(北京航空航天大学 电子信息工程学院, 北京 100191)

摘 要: 针对在 GPS 现代化进程中将出现的新的 CNAV/CNAV-2 导航电文格式,比较了目前发播的 GPS NAV 导航电文与新电文在数据表达方式上的差别. 为了衡量不同的数据截断方式对于导航定位的影响,引用导航数据截断测距误差的概念进行分析. 利用实际的导航数据对于两种电文结构进行了仿真生成、处理,比较星历/星钟参数截断带来的测距误差影响. 结果表明:相比于 NAV 电文,CNAV/CNAV-2 由于截断所造成的测距误差更小,NAV 电文对截断误差更敏感. 其中星历参数截断的测距误差改善可达厘米级,星钟参数截断的测距误差改善可达分米级. 因此,在带宽有限的条件下应优先考虑提高星钟参数的表示精度. 改进星钟参数的表达形式可望获得更高的精度提升.

关 键 词: GPS 导航电文; 截断误差; 参数表示; 空间信号测距误差; CNAV/CNAV-2

中图分类号: TN 967.1

文献标识码: A **文 章 编 号**: 1001-5965(2012)11-1492-05

GPS range error analysis based on navigation message representation

Wang Luxiao Huang Zhigang Zhao Yun

(School of Electronics and Information Engineering, Beijing University of Aeronautics and Astronautics, Beijing 100191, China)

Abstract: Aiming at the new CNAV/CNAV-2 navigation message format in the GPS modernization process, the current GPS navigation message format and the new format in data expression were compared. To evaluate the navigation and positioning influence of different data truncated ways, the concept of truncation error was brought up to analysis the problem. The actual RINEX navigation data was utilized for generation, processing two message structures; range errors caused by ephemeris and clock parameters truncation were compared between NAV and CNAV/CNAV-2 message. Results show that CNAV/CNAV-2 range error caused by parameters truncation is smaller than NAV message. NAV message is more sensitive to truncation errors. Meanwhile, to CNAV/CNAV-2 message ephemeris parameters truncation can improve range error up to a centimeter level, clock parameters truncation can improve range error up to a decimeter level. Thus, clock representation accuracy should be improved with priority in limited bandwidth circumstance. More significant improvements of the accuracy can be achieved by adjusting the representation of the satellite clock parameters.

Key words: GPS navigation message; truncation error; parameter representation; signal-in-space range error; civil navigation/civil navigation-II

导航电文包含导航卫星星历、星钟、工作状态等信息. 在实际应用中导航电文作为用户进行导航定位的信息数据载体,对定位精度、首次定位时间等性能指标具有重要的影响. 因此优化用户导航定位性能必须研究导航电文的结构、编排与数据表示方式等诸多因素.

经过多年的运行和发展,GPS(Global Positioning System)系统先后提出三种电文格式分别为使用多年的 L1 频点 NAV(Navigation)电文、L2C/L5 频点的 CNAV (Civil Navigation)电文和 L1C 频

收稿日期: 2011-06-24; **网络出版时间**: 2012-11-09 17:20

网络出版地址: www.cnki.net/kcms/detail/11.2625.V.20121109.1720.013.html

基金项目: 国家自然科学基金资助项目(60879012/F01);国家 863 计划资助项目(2009AA12z329)

作者简介: 王陆潇(1984-),女,湖北咸宁人,博士生,Suellen@ee.buaa.edu.cn.

点的 CNAV-2(Civil Navigation II)电文[1]. GPS 导航电文采用开普勒参数的方式对卫星轨道进行表达,当地面测轨系统提供的卫星轨道确定信息采用空间坐标形式时,就需要将这些信息拟合成为开普勒参数的形式,并转化为二进制的形式以便于导航电文编排. 已有 GPS 三种电文的表达方式有所区别,但对其变化原因及影响尚未有文献提及. 文献[2-3]对星历参数拟合算法进行了研究. 文献[2]证明广播星历参数拟合算法的精度损失仅为数厘米. 收敛条件越高,GPS NAV 星历参数拟合算法的精度将越接近 CNAV 星历参数[2]. 文献[3]指出拟合弧段为 2 h 时,观测值能很好地描述卫星在相应弧段的运动情况,解出广播星历参数,拟合精度小于 1 cm[3]. 由于需要进行不同类型之间的数据转化,因此截断误差不可避免,这无疑在一定程度上影响了导航电文对于轨道信息的精确表达.

由于 GPS 系统是目前最为成熟的卫星导航系统,已经长期下行播发了 NAV 形式的导航电文,同时在其现代化过程中明确地给出了 CNAV、CNAV-2 的电文接口协议,因此本文通过比较分析 GPS 三种电文星历星钟表示的差异,分析研究不同的参数表示方法带来的截断误差对测距精度的影响.

1　导航电文参数表示的比较分析

1.1　广播星历参数

根据 GPS 用户接口文件提到的 NAV,CNAV 电文星历参数和星钟参数的比特数(Bit No.)和比例因子可知数值范围.

$$\text{数值有效范围} = 2^{\text{比特数}} \times \text{比例因子}$$

具有符号变化时,

$$\text{数值有效范围} = 2^{\text{比特数}-1} \times \text{比例因子}[4-5]$$

NAV 电文星历参数包括描述卫星运动椭圆形状的 6 个开普勒轨道根数(包括半长轴平方根 $\sqrt{A}$、偏心率 e、倾角 i_0、升交点经度 Ω_0、近地点幅角 ω、平近点角 M_0)、3 个速率参数(即平均角速度修正 Δn、倾角变化率 $\dot{i}_0$、升交点经度变化率 $\dot{\Omega}$)、6 个级数展开形式的摄动项参数(即纬度变量 C_{uc}, C_{us}、轨道半径变量 C_{rc}, C_{rs}、轨道倾角变量 C_{ic}, C_{is})、星历参考时刻 t_{oe}. CNAV 星历参数增加轨道半长轴偏差 ΔA 和轨道半长轴变化率 $\dot{A}$ 替代 NAV 电文原有的半长轴参数 $\sqrt{A}$,且增加轨道平均角速率变化率参数 $\Delta n\dot{i}$.

导航电文中的各个数据的比特分配应该取决于所要表达的参数的数值范围,从表 1 可以看出:星历参数每播发一次,CNAV 总比特数为 421 bit,比 NAV358 bit 多播发 63 bit. 其中 t_{oe} 是一个 GPS 时,通常为 GPS 周历元起始点到系数生成时刻间的 16 s 的个数. IS-GPS-200C(Interface Specification-GPS-200C)接口文件中指出 NAV 电文星历参数历元参考时刻 t_{oe} 的有效范围为604 784 s,离心率 e 的有效范围为 0.03. 而由分配的比特数和比例因子计算得到的范围分别为1 048 576 s 和 0.5. 这比实际需要值大得多,意味着很大的数据比特占用和资源浪费. 在 IS-GPS-200D 接口文件中 CNAV 电文 t_{oe} 所占比特数缩短了 5 bit,表达所需的有效范围的同时也节省了空间,减小了离心率的比例因子,但位数增加一位. 根据接口文件规定的离心率范围,可以考虑将所占用的比特数适当减少.

表 1　GPS 电文星历参数接口设计比较

参数	NAV			CNAV / CNAV-2		
	比特数	比例因子	有效范围	比特数	比例因子	有效范围
C_{rs}, C_{rc}/m	16 *	2^{-5}	±1 024	24 *	2^{-8}	±32 768
Δn/(π · s^{-1})	16 *	2^{-43}	$\pm 3.725\times10^{-9}$	17 *	2^{-44}	$\pm 3.725\times10^{-9}$
$\Delta\dot{n}$/(π · s^{-2})	无			23 *	2^{-57}	$\pm 2.91\times10^{-11}$
M_0/π	32 *	2^{-31}	±1	33 *	2^{-32}	±1
C_{uc}, C_{us}/rad	16 *	2^{-29}	$\pm 6.103\times10^{-5}$	21 *	2^{-30}	$\pm 9.77\times10^{-4}$
e	32	2^{-33}	0.5	33	2^{-34}	0.5
$\sqrt{A}/\sqrt{m}$	32	2^{-19}	8 192	无		
ΔA/m	无			26 *	2^{-9}	±65 536
$\dot{A}$/(m · s^{-1})	无			25 *	2^{-21}	±8
C_{ic}, C_{is}/rad	16 *	2^{-29}	$\pm 6.103\times10^{-5}$	16 *	2^{-30}	$\pm 3.051\times10^{-5}$
Ω_0, i_0, ω/π	32 *	2^{-31}	±1	33 *	2^{-32}	±1
$\dot{i}_0$/(π · s^{-1})	14 *	2^{-43}	$\pm 9.31\times10^{-10}$	15 *	2^{-44}	$\pm 9.31\times10^{-10}$
$\dot{\Omega}$/(π · s^{-1})	24 *	2^{-43}	$\pm 9.536\times10^{-7}$	17 *	2^{-44}	$\pm 3.725\times10^{-9}$
t_{oe}/s	16	2^4	1 048 576	11	300	614 400

注:* 表示参数用二进制补码表示,最高位为符号位(+或-).

1.2 广播星钟参数比较

广播星钟参数主要指星钟修正参数,包括星钟修正常数项 a_{f0},钟漂修正数 a_{f1},钟漂速率修正数 a_{f2} 及其参考时刻 t_{oc}. GPS NAV 电文在设计初期考虑,每个星钟参数的最大截断误差应小于 0.59 ns,即引起的测距误差小于 0.177 m[6]. 星钟参数截断误差引起的测距误差应小于0.531 m,见表 2.

表 2 GPS 电文星钟参数接口设计比较

参数	NAV			CNAV/CNAV-2		
	比特数	比例因子	有效范围	比特数	比例因子	有效范围
a_{f0}/s	22 *	2^{-31}	$\pm 9.766\times10^{-4}$	26 *	2^{-35}	$\pm 9.766\times10^{-4}$
a_{f1}/(s·s^{-1})	16 *	2^{-43}	$\pm 3.725\times10^{-9}$	20 *	2^{-48}	$\pm 1.863\times10^{-9}$
a_{f2}/(s·s^{-2})	8 *	2^{-55}	$\pm 3.553\times10^{-15}$	10 *	2^{-60}	$\pm 4.44\times10^{-16}$

注:* 表示参数用二进制补码表示,最高位为符号位(+或-).

星钟参数的有效范围除 a_{f2} 外基本在同一量级. 只是比例因子缩小,比特数增多. CNAV/CNAV-2 电文星钟参数仅比 NAV 参数多 10 bit.

2 导航电文的数据截断特性分析

一般系统地面监测站点通过对导航卫星的连续跟踪观测获取必要的观测数据,再根据这些观测数据计算导航卫星轨道,从而生成广播星历参数,并按照导航电文标准将其中的参数截断转换为二进制数进行播发.

2.1 广播星历参数的截断误差

NAV 电文选择的广播星历参数为

$$\boldsymbol{X}_{\mathrm{e}}^{\mathrm{NAV}}=\begin{pmatrix}\sqrt{A},e,i,\Omega_0,\omega,M,\Delta n,\dot{\Omega},\dot{i}\\ C_{\mathrm{us}},C_{\mathrm{uc}},C_{\mathrm{is}},C_{\mathrm{ic}},C_{\mathrm{rs}},C_{\mathrm{rc}},t_{\mathrm{oe}}\end{pmatrix}$$

相应地记 CNAV 电文选择的广播星历参数为 $\boldsymbol{X}_{\mathrm{e}}^{\mathrm{CNAV}}$. 系统发播电文中轨道参数 $\boldsymbol{X}_{\mathrm{e}}$ 来源于动力学法获得的卫星定轨结果,轨道精度受选用的观测数据弧段长度、动力学参数估计及动力学模型精度影响. 电文实际发播的广播星历参数需进行如下二进制转换[5]:

$$\boldsymbol{X}_{\mathrm{e}}^{\mathrm{NAV/CNAV}}=\left[\frac{\boldsymbol{X}_{\mathrm{e}}}{\text{比例因子}}\right]_2$$

用户接收到星历参数后,先得到十进制数据然后乘以比例因子,进行使用.

$$\boldsymbol{X}_{\mathrm{u}}^{\mathrm{NAV/CNAV}}=[\boldsymbol{X}_{\mathrm{e}}^{\mathrm{NAV/CNAV}}]_{10}\times\text{比例因子}$$

$\boldsymbol{X}_{\mathrm{e}}$ 和 $\boldsymbol{X}_{\mathrm{u}}^{\mathrm{NAV/CNAV}}$ 分别表示截断前后的星历参数向量. 导航电文星历参数截断误差为

$$\boldsymbol{\varepsilon}_{\mathrm{eph}}=\boldsymbol{X}_{\mathrm{e}}-\boldsymbol{X}_{\mathrm{u}}^{\mathrm{NAV/CNAV}}$$

2.2 广播星钟参数的截断误差

NAV/CNAV 电文选择的广播星钟参数均为 $\boldsymbol{X}_{\mathrm{c}}^{\mathrm{NAV/CNAV}}=(a_{f0},a_{f1},a_{f2},t_{\mathrm{oc}})$. 用户通过模型进行时钟修正,星钟修正参数模型为

$$\Delta t_{\mathrm{SV}}=a_{f0}+a_{f1}(t-t_{\mathrm{oc}})+a_{f2}(t-t_{\mathrm{oc}})^2+\Delta t_r$$

其中相对论效应对时间的修正参数为

$$\Delta t_r=F\cdot e\cdot(A)^{1/2}\cdot\sin E_k$$

$$F=\frac{-2\mu^{1/2}}{c^2}=-4.442\,807\,633(10)^{-10}\,\mathrm{s}/\sqrt{\mathrm{m}}$$

星钟参数的截断误差为:$\varepsilon_{\mathrm{clock}}=\Delta t-\Delta t^{\mathrm{NAV/CNAV}}$. $\Delta t^{\mathrm{NAV/CNAV}}$ 为按电文格式对控制段得到的星钟修正参数 Δt 进行截断后的星钟改正参数.

2.3 参数截断带来的测距误差

电文参数截断导致的直接后果就是对于广播星历和星钟参数的表示精度下降,这也就意味着用户在进行定位时实际上获得的是“降精度”的轨道信息,这必然对于用户的测距精度带来影响,为此需要分析截断误差在用户测距域上的影响. $\boldsymbol{r}(\cdot)$ 为使用接口文件提供的 Kepler 轨道参数和摄动参数算法计算的卫星地心地固坐标系下天线相位中心的位置.

$$\Delta\boldsymbol{r}=\boldsymbol{r}(\boldsymbol{X}_{\mathrm{e}})-\boldsymbol{r}(\boldsymbol{X}_{\mathrm{u}}^{\mathrm{NAV/CNAV}})$$

将 X,Y,Z 方向的误差向量投影到切向、法向、径向方向上,计算对应的空间信号测距误差(SISRE, Signal-In-Space Range Error). 由 GPS 卫星在覆盖范围内的平均测距误差经验公式可得由星历截断误差带来的空间信号测距误差为

$$S_{\mathrm{eph}}=\sqrt{\Delta r_R^2+\frac{1}{49}(\Delta r_A^2+\Delta r_C^2)}$$

由星钟参数截断误差带来的空间信号测距误差为:$S_{\mathrm{clock}}=\sqrt{(c\cdot\varepsilon_{\mathrm{clock}})^2}$. 因此星钟和星历参数截断误差带来的空间信号测距误差为:$S=S_{\mathrm{eph}}+S_{\mathrm{clock}}$. $\Delta r_R,\Delta r_A,\Delta r_C$ 分别为卫星导航电文参数截断在轨道坐标系径向、切向、法向引起的误差分量. $\varepsilon_{\mathrm{clock}}$ 是星钟参数截断带来的误差.

3 仿真方法

为避免拟合估计卫星星钟改正和星历参数时引入计算误差,使用 IGS(International GNSS Service)组织提供的 RINEX(Receiver Independent Exchange Format)格式的广播数据作为卫星的准确位置进行分析. 将 GPS PRN 2 卫星 2010 年 12 月

7 日一天内的 RINEX 数据按照 NAV/CNAV 电文下对应的参数格式进行处理,以便于比较 NAV 和 CNAV 电文星历/星钟参数表示精度带来的影响. 按照表 1 和表 2 中的参数接口设计要求,将星钟和星历参数转化成用户实际使用的二进制数. 外推计算 RINEX/NAV/ CNAV 星历参数在 15 min 间隔处得到卫星位置. 将由 NAV/CNAV 的星历参数得到的卫星位置与星钟参数分别与 RINEX 得到的值作差,计算星历和星钟参数的空间信号测距误差来分析参数的表示精度.

3.1　广播星历参数表示精度分析

由于 NAV 电文参数历元时刻的比例因子为 16 s,CNAV 电文中相应的比例因子为 300 s,而 RINEX 数据经常在 59 min44 s 处更新,在此处电文星历参数截断后的测距误差会有一个异常大的点. 参数截断导致 CNAV 电文无法准确描述星历参数历元时刻,从而导致较大的测距误差. 使用 CNAV 电文后,星历提前更新的最小时间单位将由 NAV 电文的 16 s 变为 5 min,本文分析过程中均剔除掉由历元更新时刻的不准确表达导致测距误差偏大的异常点.

将每组截断后的 NAV/CNAV 星历参数与 RINEX 参数均外推 2 h,分析两种星历参数截断方式带来的外推测距误差变化如图 1. CNAV 电文星历参数比特数的增加,使得电文更新时刻处的截断误差更小,从而在一定程度上避免了测距精度的损失. 星历参数截断的测距误差数据特性如表 3 所示. CNAV 与 NAV 星历截断方式相比,改善的测距误差最大能达到 6.5 cm.

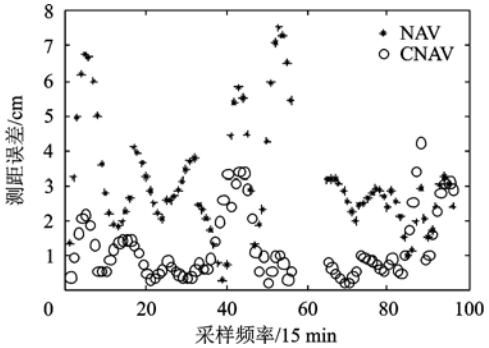

图 1　广播星历截断后外推的测距误差

表 3　PRN 2 星历参数截断的测距误差

采样频率	SISRE/cm	NAV	CNAV	NAV-CNAV
2 h	最大值	4.4	2.4	3.06
	平均值	2.84	1.0	1.84
	标准差	9.04×10^{-2}	5.22×10^{-2}	6.69×10^{-2}
15 min	最大值	7.52	4.25	6.5
	平均值	3.14	1.24	1.9
	标准差	0.16	9.46×10^{-2}	0.181

3.2　广播星钟参数表示精度分析

将星钟参数外推 2 h 得到 PRN 2 卫星星钟参数截断误差特性如图 2. 由图 2 可知 CNAV 与 NAV 电文相比星钟参数外推的截断误差小得多. 表 4 可看出,CNAV 电文比 NAV 电文的星钟参数多占用 10 bit,带来的变化是在电文更新时刻处其截断带来的测距误差最大能改善 13.08 cm,平均能改善 7.14 cm. 星钟参数外推的 2 h 内,CNAV 与 NAV 电文相比,电文星钟参数因截断带来的改善最大可达 33.89 cm,平均能改善 17.53 cm.

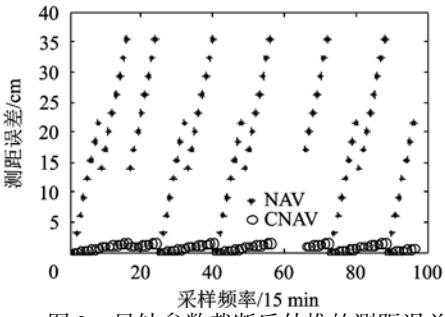

图 2　星钟参数截断后外推的测距误差

表 4　PRN 2 星钟参数截断的测距误差

采样频率	SISRE/cm	NAV	CNAV	NAV-CNAV
2 h	最大值	13.96	0.872	13.08
	平均值	7.61	0.476	7.14
	标准差	0.728	4.56×10^{-2}	0.686
15 min	最大值	35.43	1.54	33.89
	平均值	18.35	0.81	17.53
	标准差	0.995	4.9×10^{-2}	0.949

3.3　星历/星钟参数截断带来的测距误差分析

比较 2010 年 12 月 7 日一天 PRN 2 卫星的广播星历/星钟参数截断误差带来的测距误差如图 3 所示. 星历/星钟参数截断带来的空间信号测距误差变化趋势与星钟参数截断的测距误差趋势一致. 可见星钟参数的截断误差是参数表示测距误差的主要来源.

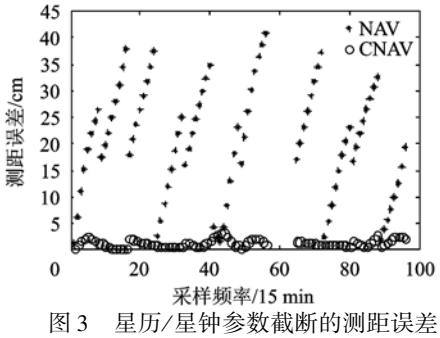

图 3　星历/星钟参数截断的测距误差

采用 PRN 2 号卫星 2010-12-6 日至 2010-12-12 日一周的 IGS 组织的 RINEX 广播数据,分别进行 NAV/CNAV 参数截断,比较分析星历、星钟参数的空间信号测距误差. 截断测距误差特性如

图 4、图 5 所示. 图 4 可看出 NAV 截断方式下,星钟参数的截断测距误差每天最大值在 30 ~ 40 cm 之间,星历参数的截断测距误差每天最大值在5 ~ 10 cm 之间. 大部分情况下星钟参数的截断测距误差大得多,是 SISRE 的主要来源. 图 5 为 CNAV 截断方式下的误差特性. 可看出星钟改正和星历参数的截断测距误差分别在 0 ~ 2 和 0 ~ 5 cm之间,二者对 SISRE 的影响相当. 因此可知 CNAV 的星钟参数表示形式能有效减小 SISRE.

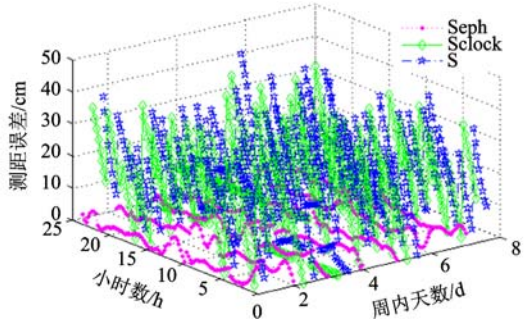

图 4 NAV 电文截断误差特性

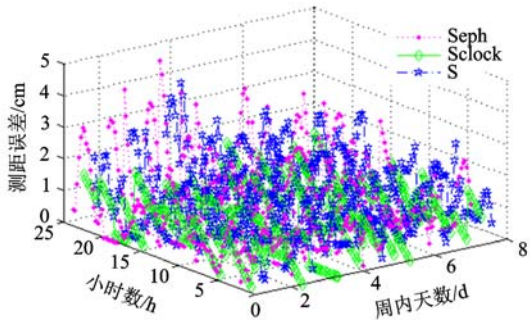

图 5 CNAV 电文截断误差特性

对比图 4、图 5 可知 CNAV 电文星历星钟和二者共同的截断误差影响的空间信号测距精度均比 NAV 值小. CNAV 的星钟参数表示形式能有效减小截断带来的测距误差. NAV 电文参数接口设计对截断误差更敏感.

3.4 结果分析

从文中仿真结果看,在广播参数更新点前后,误差会有较大跳变,其原因是广播参数更新造成的,与截断误差无关. 因此,截断误差不是限制参数精度的唯一因素,也非主要因素. 本文采用 IGS 提供的 RINEX 广播数据作为参数来源标准,分析不同的接口规范文件对参数的定义也能影响参数精度. 不考虑电文参数的外推时,星历参数增加 63 bit 平均能带来测距性能 1.84 cm 的改善,星钟参数增加 10 bit 平均可带来测距性能 7.14 cm 的改善. 考虑电文参数具备 2 h 的外推能力,就其平均水平而言,星历参数的增加能带来测距性能 1.9 cm的改善,星钟参数的增加可带来测距性能 17.53 cm 的改善. 星钟参数的截断误差是影响表示精度的主要方面. CNAV 电文星历和星钟改正参数均比 NAV 电文相应参数截断带来的测距误差小. 导航电文中星历和星钟参数的播发周期基本一致,在一定的带宽资源情况下,提高星钟参数的比特数和比例因子能更有效地改善测距精度. 对中轨导航卫星电文而言,星历参数接口设计采用 NAV 电文星历参数设置将更节省比特位资源.

4 结 论

本文结合 GPS 不同的导航电文参数的内容和表示方式,采用统一数据来源处理得到星历参数和星钟参数. 对导航数据的表示精度问题进行分析研究后得到如下主要结论:①CNAV 电文参数的表示方式对参数截断误差的敏感性小;②NAV/CNAV 电文参数下,星钟参数均比星历参数截断带来的测距误差大;③资源有限时,提高星钟参数的表示精度能更有效地提高测距精度.

参考文献(References)

[1] 陈金平,王梦丽,钱曙光. 现代化 GNSS 导航电文设计分析[J]. 电子与信息学报,2011,33(1):211-217
Chen Jinping, Wang Mengli, Qian Shuguang. Analysis of modernization GNSS navigation message's designing [J]. Journal of Electronics & Information Technology, 2011, 33(1): 211-217(in Chinese)

[2] 崔先强,焦文海,贾晓林,等. 两种 GPS 广播星历参数算法的比较[J]. 空间科学学报,2006,26(5):382-387
Cui Xianqiang, Jiao Wenhai, Jia Xiaolin, et al. Comparison8 of two kinds of GPS broadcast ephemeris parameter algorithms [J]. Chinese J Space Sci, 2006, 26(5): 382-387(in Chinese)

[3] 崔先强,焦文海,贾晓林,等. GPS 广播星历参数拟合算法[J]. 测绘学院学报,2004,21(4):244-246
Cui Xianqiang, Jiao Wenhai, Jia Xiaolin, et al. The fitting algorithm of GPS broadcast ephemeris parameters [J]. Journal of Institute of Surveying and Mapping, 2004, 21(4): 244-246 (in Chinese)

[4] 张伯川,常青,张其善,等. 高动态 GPS 卫星信号模拟器导航电文生成[J]. 北京航空航天大学学报,2005,31(3):254-257
Zhang Bochuan, Chang Qing, Zhang Qishan, et al. Research on the production of the navigation data of high dynamic GPS signal simulator [J]. Journal of Beijing University of Aeronautics and Astronautics, 2005, 31(3): 254-257(in Chinese)

[5] 崔先强,陈南,贾晓林. GPS 星历参数比例因子的确定研究[J]. 全球定位系统,2007(2):1-3
Cui Xianqiang, Chen Nan, Jia Xiaolin. Determination of the scale factors of GPS ephemeris parameters[J]. GNSS World of China, 2007(2): 1-3(in Chinese)

[6] Van Dierendonck A J, Russell S S, Kopitzke E R, et al. The GPS navigation message[J]. Journal of the Institute of Navigation, 1978, 25(2): 147-165

(编 辑:娄 嘉)